

# Trabalho Prático 3: Plano de Dominação Global do Professor WM. Jr

Francis Carlos dos Santos

Matrícula: 2012022167

franciscarlossantos@gmail.com

## 1 Introdução

Encontrar a solução ótima para problemas de elevado grau de complexidade, ou seja, problemas no qual o espaço de soluções é extremamente grande, é extremamente custoso computacionalmente. Para muitos casos de aplicações práticas heurísticas são aplicadas ou algum tipo de computação evolutiva para se conseguir um resultado bem bom mas, que não necessariamente é ótimo. Para problemas em que existe obrigatoriedade de se conseguir encontrar o ótimo são mais desafiadores e uma das técnicas bastante empregada é a de Programação Dinâmica. Outra estratégia boa para se resolver esse tipo de problema seria combinar a solução em PD juntamente com alguma técnica de computação em paralelo.

No trabalho proposto, temos uma situação em que o professor WM quer dominar todas as cidades do planeta, porém para cada cidade dominada as cidades vizinhas explodem. O conquistador WM quer conquistar o maior número de cidades de tal forma a controlar o maior número de pessoas possível. Portanto, o objetivo deste trabalho é combinar as técnicas de programação dinâmica e programação em paralelo de forma a encontrar o maior número de cidades possível.

## 2 Solução do Problema

### 2.1 Entendimento do Problema e Abordagem

O problema consistirá de uma entrada, uma espécie de mapa, passada por meio de uma matrix de  $N$  linhas e  $M$  colunas, além de receber o número de threads a serem utilizadas por meio da linha de comando. A saída consistirá apenas do valor ótimo impresso ao fim da execução. A entrada é lida de maneira sequencial. A princípio foi pensada uma solução basicamente de força bruta, o objetivo principal era de conseguir entender melhor o problema. Porém essa solução, obviamente se mostrou não factível pela demora causada pelo grande número de casos. No próximo passo tentei aplicar as ideias de uma lógica gulosa para facilitar o problema, essa lógica iria funcionar comparando os números e vendo se era maior que o seu adjacente até que o vetor fosse todo lido. Ao fim teríamos um vetor indicando as posições das cidades que fariam com que aquele vetor tivesse a soma máxima. Essa lógica tinha um problema bem básico que era, o aumento da complexidade para analisar casos em que a entrada viria já ordenada. A partir desse momento todo o

pensamento foi de se utilizar sempre as somas entre os números, afim de percorrer o vetor uma única vez e de uma forma que a ordem não influenciaria. Primeiramente Utilizou-se duas somas. A idéia básica era a de se comparar sempre dois valores e armazenar sempre o maior valor. Como mostrado na Figura 1. O primeiro passo é ler os primeiros valores. Em (A) temos a primeira iteração, nela armazena-se a soma dos dois extremos lidos e comparamos o primeiro valor com o segundo, pois nessa iteração consideramos que o primeiro valor lido tenha valor máximo. Na tabela da esquerda pode ser observada a soma máxima encontrada para cada solução ao decorrer da resolução. Em (B) temos a leitura do proximo valor, setas brancas indicam a leitura, e a comparação entre o a soma armazenada da ultima iteração 3 e o valor máximo encontrado na ultima iteração, nessa iteração a soma parcial armazeada é 9. Na parte (C) e ultima iteração o valor 9 é lido a nova soma  $8 + 9$  é armazenada e a comparação entre a soma da última iteração e o máximo da atual é feita, nesse caso é interessante perceber que apesar de parecer reduntante, essa parte do código não está relicionada com a posição dos números no vetor e sim com o máximo encontrado na execução anterior . Em (D) a função já saiu do laço, mas realiza uma última comparação entre a ultima soma computada, e o valor máximo,  $Max(9,17)$ . Pelo diagrama é simples perceber que a comparação para decidir qual soma é maior é sempre feita utilizando o valor da solução anterior, ou seja, basicamente estamos consultando uma tabela com soluções de sub-problemas.

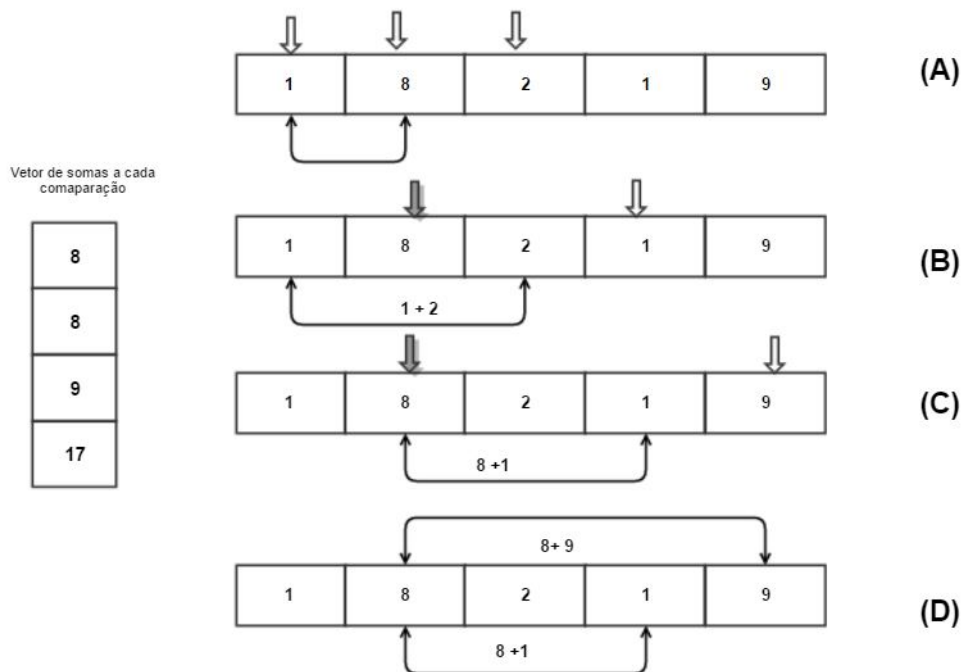


Figura 1: Esquema de solução para uma linha da entrada

A partir dessa solução pode-se inferir uma análise da recorrência, como pode ser observado a equação de recorrência mostrada na equação da Figura 2. Pode-se observar que os dois primeiros valores são passados como resultados diretos da função. A partir desse ponto todas as soluções são calculadas a partir dos máximos entre os antecedentes enquanto a soma a ser usada para comparação no próximo laço é também feita. A partir desse desenvolvimento foi possível chegar a equação de recorrência mostrada na Figura

3. Como explicado anteriormente fica claro a relação com os resultados dos subproblemas anteriores. A condição mostrada, resulta do entendimento que para fazer a comparação precisamos de pelo menos dois números, logo essa equação de recorrência representa a solução para o espaço de solução de  $2 < n < N$ . Uma vez que para valores menores que três a única operação realizada seria uma única comparação.

$$T(0) = s(0)$$

$$T(1) = s(1)$$

$$T(2) = \max(v(1), s(0)) \text{ e } s(0) + s(2)$$

$$T(3) = \max(T(2), v(0) + s(2)) \text{ e } T(2) + s(3)$$

$$T(4) = \max(T(3), \max(T(2)) + s(2)) \text{ e } T(3) + s(4)$$

$$T(5) = \max(T(4), T(3) + s(4))$$

Figura 2: Dedução da equação de recorrências

$$T(0) = s(0)$$

$$T(1) = s(1)$$

$$T(n) = \max\{T(n-1), T(n-2)\} \text{ e } T(n-2) + s(n), \quad 2 < n < N$$

Figura 3: Equação de recorrências

## 2.2 Estrutura de Dados Escolhida

Com o objetivo de simplificar a solução do problema uma única estrutura de dados foi criada, com o fim de facilitar a implementação das threads e não comprometer o funcionamento do programa. A estrutura *dados* mostrada abaixo é utilizada na forma de um vetor de structs, embora essa escolha tenha aumentado o custo de espaço pois para cada linha da matriz essa estrutura será alocada, ela facilita muito a construção da solução uma vez que pode ser utilizada diretamente para realizar a solução em paralelo e ainda evita a utilização de primitivas de sincronização, uma vez que a chance de escrita e leitura da mesma variável ao mesmo tempo é descartada. A struct possui também um parâmetro *Soma*, que serve para armazenar o máximo obtido para cada linha da estrutura *dados*.

## 2.3 Fluxo de funcionamento

O algoritmo proposto possui um fluxo de funcionamento muito simples, após a leitura da entrada o algoritmo busca as soluções linha por linha utilizando paralelismo de dados, isso por que a mesma operação é utilizada em vários blocos diferentes de dados. A solução é

---

**Algoritmo 1:** Estruturas de Dados dados

---

```
1  typedef struct{
2    long int  N,M
3    int *populacao,thread_ID,soma
4
5  }dados;
```

---

então computada e em uma função similar *MaxPop* e o ótimo é calculado e impresso na saída padrão.

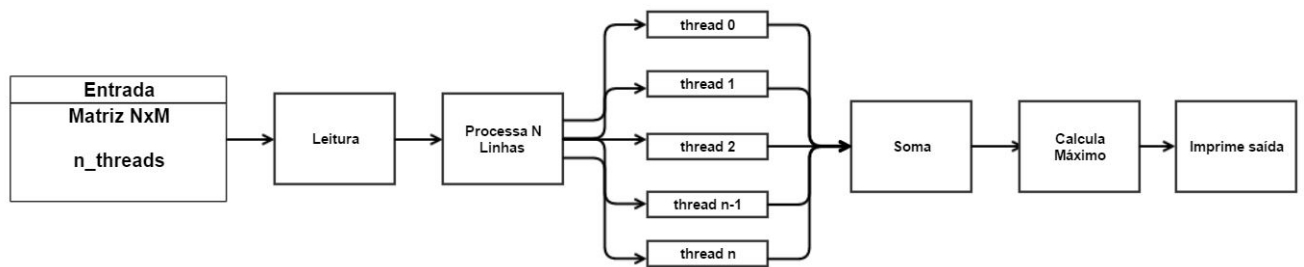


Figura 4: Esquema de funcionamento do algoritmo.

### 3 Análise de Complexidade

Nesta seção, será apresentada a análise do custo teórico de tempo e de espaço para as principais funções do algoritmo.

#### 3.1 Análise Teórica do Custo Assintótico de Tempo

Sejam  $N$  e  $M$  o número de linhas e o número de colunas na entrada respectivamente. A complexidade geral do algoritmo pode ser encontrada fazendo-se uma análise das principais funções. As funções *free* e *malloc* serão consideradas como tendo um tempo de execução  $O(1)$ . Consideramos também todos os processos de atribuição e criação das threads, como tendo tempo complexidade de  $O(1)$ .

- **LeEntrada:** A função *LeEntrada* é responsável por ler a entrada e armazená-la na struct *dados*. Essa função percorre as  $N \times M$ . Portanto sua complexidade assintótica de tempo é  $O(N \times M)$ .
- **processa\_threads:** Talvez essa seja a função mais importante do algoritmo, é responsável por gerenciar a criação e finalização das threads. Para realizar essas operações essa função conta com um loop mais externo responsável por garantir que as operações sejam executadas  $N \div n\_threads$  vezes, sendo *n\_threads* o número de threads passado como parâmetro. A ideia é que se o número de threads for múltiplo do número de linhas da matriz, cada thread terá que executar exatamente  $N \div n\_threads$  e caso contrário cada thread executará o mesmo número de operações mais  $N \% n\_threads$ . Com isso cada loop executará no máximo  $N$  vezes. Logo  $N$  para a criação das threads e mais  $N$  vezes para verificar se o processo da thread está terminado. nesse caso temos que a complexidade é dada por  $O(\max(N+M))$ .
- **MaxPop\_thread:** Essa é a função chamada pela thread logo ela é executada no máximo  $N$  vezes e possui uma complexidade de  $O(M)$ , logo a complexidade assintótica de tempo dessa função é  $O(M)$ . É simples perceber que para todos os processos a complexidade dessa função é então  $O(N \times M)$ .
- **SumStruct:** Essa função tem como objetivo realizar o somatório de todos os ótimos encontrados para cada linha da entrada. Logo é evidente que sua complexidade é  $O(N)$ .
- **MaxPop:** Essa função é exatamente igual a que realiza as operações através das threads, porém essa é executada uma única vez portanto sua complexidade é  $O(N)$ .

Conclui-se assim que a complexidade assintótica de tempo do algoritmo é  $O(|N \times M|)$ .

#### 3.2 Análise Teórica do Custo Assintótico de Espaço

Considerando a estrutura *dados* como a principal estrutura do algoritmo, pois essa é a única em que o espaço varia de acordo com a entrada. O maior espaço dentro dessa estrutura vem da alocação da própria estrutura  $N$  vezes mas seu vetor interno *populacao*, que tem tamanho  $M$ . Como é fácil perceber essa estrutura está intimamente relacionada com a matriz, ou mapa, da entrada. Portanto a complexidade teórica assintótica de espaço será  $O(|N \times M|)$ .

## 4 Análise Experimental

A análise experimental da implementação é mostrada pelas figuras, e. Para realizar os experimentos foi utilizado um gerador de casos teste. O tempo de execução foi obtido pelo terminal ao fim da execução do programa. O espaço utilizado em cada execução foi obtido por meio da utilização do Valgrind. Os testes foram realizados em uma máquina com processador Core i7-4720HQ 2.6GHz e 8GB de memória ram.

Os testes foram realizados com o intuito de testar como o algoritmo responde a diferentes variações no número de linhas, número de colunas e com o número de threads. Na Figura 5 podemos observar um gráfico mostrando o tempo de execução relativo a variação do tamanho da entrada e do número de threads. A linha azul mostra o caminho esperado, que foi indicado na análise teórica assintótica de espaço. É possível observar que as três curvas tem basicamente a mesma inclinação o que concorda com o resultado esperado. Embora seja possível notar alguma alteração grande nas curvas, tais fatos se deve aos processos relacionados a execução das threads, que são chamadas sistêmicas.

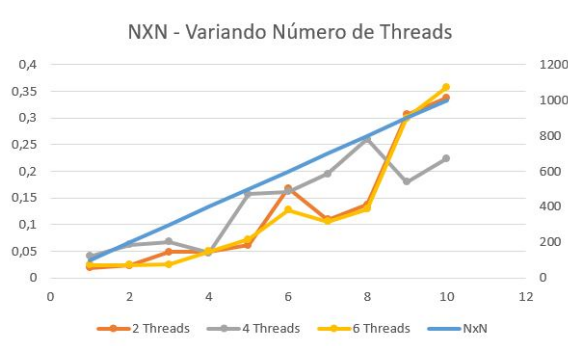


Figura 5: Gráfico mostrando a resposta do tempo(s) com a variação do número de threads e do tamanho da entrada.

Na Figura 6, podemos perceber como o espaço alocado para o algoritmo varia de forma, em forma de parábola, como esperado pela análise teórica assintótica de espaço. Foi possível perceber também que o número de threads tem influência muito baixa na quantidade de memória utilizada, pelo menos para esse algoritmo. Nesse teste o tamanho da entrada foi fixado em NxN com o número de threads fixo. Outro teste utilizado foi a

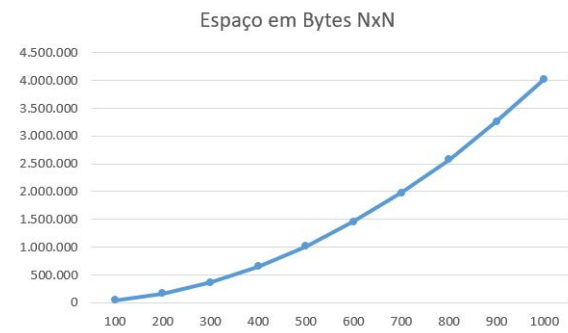


Figura 6: Gráfico mostrando a variação de memória, em bytes, alocada para o programa com a variação no tamanho da entrada.

variação do número de colunas utilizando o número de linhas fixo em 10 e com threads nos tamanhos de 2,4,6. É possível perceber que para problemas muito pequenos a divisão de trabalho não apresenta grandes benefícios, isso pode ser explicado pelo fato de que,

se a entrada for pequena e a divisão for grande o processador armazenará os dados na memória cache, o que pode causar maior tempo de execução. Após uma pequena anomalia os gráficos apresentaram um comportamento bastante estável e conforme o esperado quase linear. Esse gráfico nos mostra também que o número de colunas da matriz de entrada não apresenta grande influência no tempo de execução do problema.

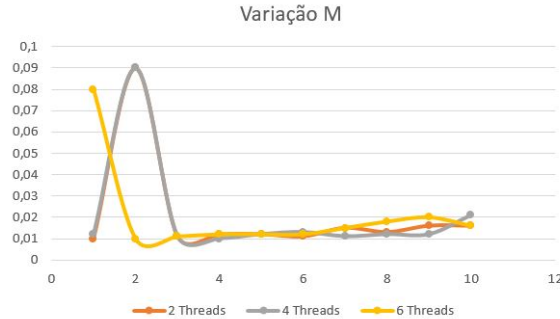


Figura 7: Resposta à variação do número de colunas da matriz de entrada.

Por último avaliamos a resposta do tempo em relação a variação do número de linhas. É fácil perceber a característica parabólica da curva do tempo. Assim como esperado pela análise teórica. Os parâmetros utilizados para esse teste experimento foram, 2,4 e 6 threads e um número fixo de 100 colunas na matriz de entrada. Ainda, durante a análise

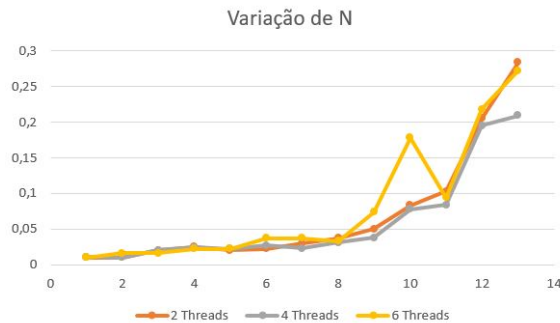


Figura 8: Gráfico mostrando a resposta do tempo(s) com a variação do número de linhas e threads.

experimental foram feitos testes utilizando o Valgrind. Para os exemplos *TOYs* passados, todos os testes obtiveram sucesso. Para entradas muito pequenas foram observadas pequenas leaks de 4 bytes de memória, os quais não consegui identificar a fonte.

## 5 Conclusões

Nesse trabalho Tivemos que implementar uma solução em programação dinâmica para um problema muito interessante. Não é interessante por ser difícil ou aplicável e sim porque foi interessante pensar e caminhar por várias soluções até encontrar uma satisfatória. O problema proposto, era dado uma matriz  $N \times M$  conseguir maximizar o número de pessoas dominadas pelo WM e implementar tal solução de utilizando também a programação paralela. Um algoritmo solução foi implementado, e o problema foi resolvido, acredito, com êxito. Desde o principio o foco foi o de minimizar o número de comparações para encontrar a solução. A implementação em paralelo de certa forma, moldou de certa forma, a estrutura utilizada. A complexidade teórica assintótica de espaço e tempo do algoritmo implementado é  $O(N \times M)$ .

Esse trabalho foi o mais desafiador, na minha opinião, não por ser o mais difícil mas por intuitivamente parecer existir tantas opções de solução e ao mesmo tempo tão poucas. Não fosse o tempo extra longo devido às ocupações acredito que dificilmente conseguiria resolver o problema no fim de semestre com outras disciplinas.



## 6 Referências Bibliográficas

Robert Sedgewick and Kevin Wayne. 2011. Algorithms (4th ed.). Addison-Wesley Professional.

Thomas T. Cormen, Charles E. Leiserson, and Ronald L. Rivest. 1990. Introduction to Algorithms. MIT Press, Cambridge, MA, USA.